

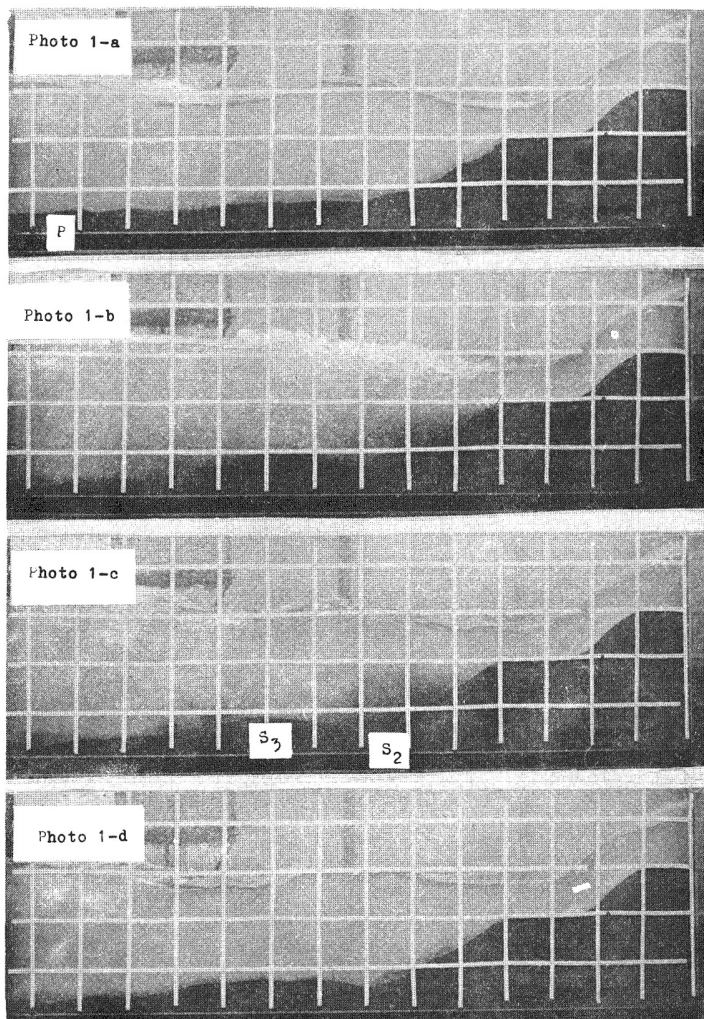
II-9 水叩き下流側の洗掘機構について

大阪大学大学院 正員 助教 世輝

水叩きの長さと洗掘量の推定については、Bligh, Khosla, Leliavsky, Davey-McAlpine, Veronese, Ahmad 等に依つて実測や模型実験に依つて研究されてゐる。最近では基礎研究として自由噴流或いは wall jet に依る洗掘に關し、Rouse, 栗原椿, Thomas, Scimemi, 岩垣, 土屋, 栗津等に依つて活潑に研究されてゐる。特に、境界層の理論を用ひて洗掘限界を導びき出してゐる土屋の基礎的研究は興味ある成果を挙げてゐる。然し、水叩き下流側に自由表面を持つ跳水部の洗掘機構に対するはその水理現象が非常に複雑かつ測定上にも可成りの困難があるため、解析はほとんどなされていない現状である。従つて解析に前立つてそれらの水理現象と洗掘機構を的確に把握する必要がある。本研究はこうした観点から実験を行い、今迄観測された二、三の特性を報告すると共に減勢工を設けた場合の比較実験結果の一例をも述べる。

実験装置は写真 1 に示した如く幅 15 cm, 高さ 50 cm, 長さ 200 cm の両面は透明の塗化ビニール板の矩形水路で、上下流端は夫々 $100 \times 80 \times 100$ cm と $80 \times 50 \times 80$ cm の矩形水槽に接続し、所定のダム模型を水路の上流端に嵌込み、夫々固定床と移動床の場合について実験を行うものとする。移動床の構成材料は Fig. 1 の A 線に示した粒度分布曲線をもつ混合砂で水叩き面と同一平面に水路全面に亘って敷くものとする。越流水深と下流側の水深は任意に調節する所を考慮した。

洗掘過程は写真 1-a ~ 1-d に示した如くに、周期的現象を繰り返しながら洗掘部が発達していくことが観測された。即



ち、まず写真 1-a の奥 P(最大洗掘深さの奥から少し下流側にある) から上下流側に分かれ砂粒が掃流の形式で輸送されていく。そして洗掘孔上流側の勾配、即ち、Fig 4 の $\tan \theta_c$ がある一定の値に達すると水流のある平衡状態が破れ、jump a front が段波の型で短時間に水叩き終端迄前進して碎波して、非常に大きい乱れ、その水理条件に対応し、瞬間的に最大最強の roller を生じる。このとき回転方向が互いに逆であるようないわゆる ground roller と surface roller が交互に作用し砂粒を浮遊して写真 1-b に示した様に主に浮遊形式で下流側に輸送されていく。その後は写真 1-c に示した様に上流側の二次洗掘孔 S₂ の部分はすぐ下流側の突起部 S₃ からの bed load で埋められ、限界勾配 $\tan \theta_c$ に達すると逆上流に向う掃流輸送が繰り返される。再び $\tan \theta_c$ に達すると前述した瞬間的過渡現象が繰り返され洗掘孔が発達していく。この洗掘機構の周期の二、三の例を示すと Fig. 2 の如くである。図に依れば、洗掘周期の変化は非常に複雑であるが、全体の傾向としては最大洗掘深さに収束するのに対応するようである。終局的には周期に漸近していくようである。本実験での平均周期は約 40 分～60 分の order である。これらの平均周期を整理すると y_2/y_1 或 F_1 に伴って増加していくようである。是を y_2 、 y_1 は水叩き終端の水深、 y_2 は下流側の水深で、 F_1 は水叩き終端の Froude 数を表す。

さて、前述の限界勾配について二次元解析すると、

$$\tan \theta_c = f_1(F_1, \frac{y_2}{y_1}, \frac{B_{y_1}}{y_1}, \frac{d_{y_1}}{y_1}, \text{及}, \frac{L}{y_1}, \frac{H_2}{y_1}) \quad (1)$$

ここに、 B は水路の幅、 d_{y_1} は混合砂の代表粒径、 L は水中に於ける混合砂の安息角、 H_2 は跳水に依る損失水頭、 L は構造物を支配する長さ、例へばここでは水叩きの長さとする。 y_2/y_1 が一定の場合は、 $\tan \theta_c$ は一定にはほぼ等しく、さらに本実験に用いた砂種は一定であるから d_{y_1}/y_1 と互も一定である。又、 B_{y_1}/y_1 はともに

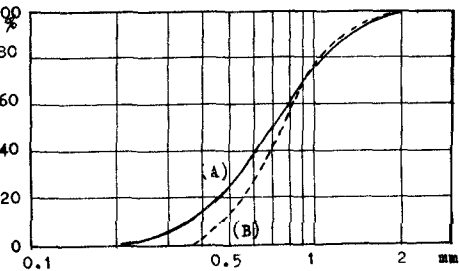


Fig. 1 Size distribution curves.

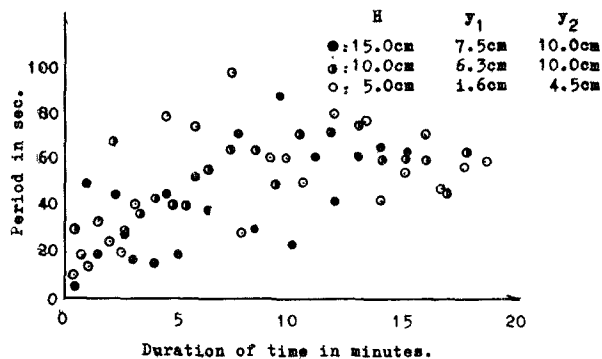


Fig. 2 Occurrence of periodical scour during the development of scour holes.

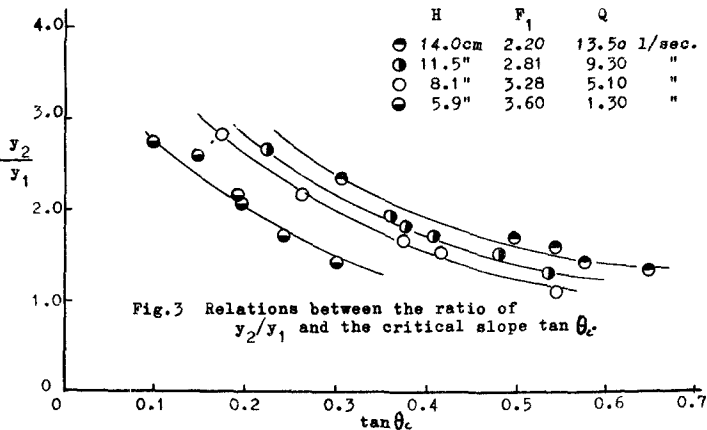


Fig. 3 Relations between the ratio of y_2/y_1 and the critical slope $\tan \theta_c$.

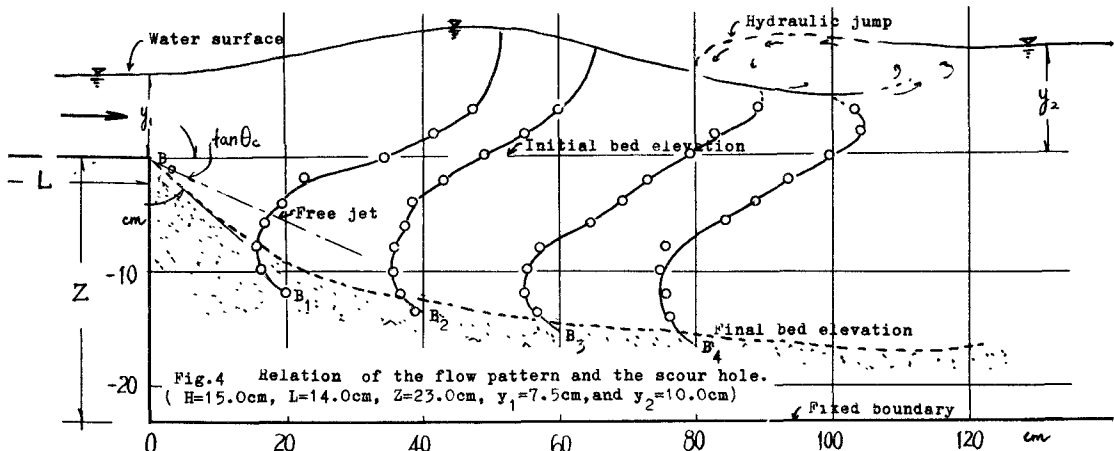
y_1 と F_i の関数であるから、(1)式は $\tan \theta_c = f_2(F_i, y_1)$ (2)

従つて(2)式に基づいて F_i を変数として実験結果を整理すと Fig. 3 の様になふ。因から判る様に可成り systematicな関係を示してゐる。

Fig. 4 は流況と洗掘孔の形狀の一例であつて、この圖から興味深い傾向が見出される、即ち、洗掘孔の上流側の形狀はほぼ固定床の場合の ground roller の下側 boundary (Fig. 4 の B_1, B_2, B_3, \dots を結ぶ線) と一致してゐる。これに依ると自由噴流の拡散理論は第一近似としても適用出来なくなる。従つて、自由表面と固定境界(高さ Z)を有する場合の流速分布、拡散幅、eddy zone 等の特性を的確に把握する必要であらう。又、この圖から判る様に Albertson 等の自由噴流から半經驗的に求められた噴流の nominal boundary の拡かり角度は本実験の場合に比べて小であることが判る(土屋の行つた wall jet の実験と逆の傾向を示してゐる)。この相違は自由表面の存在、即ち、free hydraulic jump の発生が大きく影響してゐると思われる。

長時間通水した後、洗掘孔上流部分の表層砂粒を粒度分析すると Fig. 1 の(B)線にひつてゐる。これは周期洗掘の際、浮遊に依る粒度の sorting effect がきいているものと考えられる。従つて、河床の粒径は洗掘の発達過程には影響を受けると思われるが、終局的な洗掘形狀、例へば、上流側の洗掘孔の縦断面形狀、 $\tan \theta_c$ には無関係であるようである。

次に、水門や終端に sill やエプロン部に baffle piers 等 (Fig. 5 参照) を設けた場合の洗掘に関して比較実験を行ひ、その結果を Fig. 6 に示す。end sill があることに依つて systematicな roller がつぶされ、乱れの scale が小さくなり、洗掘量は軽減される。特に、dentated sill の効果が著しい。但し、S-1 と S-2 の型の sill はこの場合につけては逆の効果を示してゐる、これは減勢工の設置にもかからず、このうちフリップ型ではかえつて水勢を助長することになる。尚、basin の長さを伸ばして、baffle piers と dentated sill を共用すると可成り効果的である。このときは周期性洗掘はほとんど起らず、洗掘量は約半分に減り、最大洗掘深さも 45% 減少してゐる。この場合の砂粒輸送は主に掃流形式であり、これは周期性洗掘で現われる瞬間的な強い擾乱ではなく、減勢構造物に依る定期的・均質な乱れに変換されたためであるといえよう。



以上、水叩き下流側の洗掘機構に関する、特に submerged jet の自由表面の効果の大さく、流況特性に着目し、考察したところを要約すれば次如くである：

1) 洗掘の発達は roller の生長によって、掃流形式と間歇的な浮遊輸送が周期的に繰り返えし、次第に洗掘孔を拡大していく。このうち輸送量としては浮遊は依らず、かき寄せに大きく、洗掘孔上流側の限界勾配と縦断面形状は各水理条件に対して一定であり、粒径によると無関係である。

2.) 洗掘孔上流の洗掘勾配は下流側の水深と上流側の水深との比、及上流側の Froude 数に依らず変化する。

3.) 洗掘部の流速分布は自由噴流の拡散特性と可成りの相違があり、洗掘孔上流側の縦断面形状は固定床の ground roller の下側の boundary とほとんど一致する。従ってこの場合の流速分布の特性が明らかであるならば、第一近似として洗掘孔の形状を予測することが出来る。

4.) 水叩き部に end sill を設けたときは、その形状と上流側の水理条件を注意する必要がある。水叩き下流部の各断面の流速分布を control し、乱れを均質的にしてその scale を小さくするに依らず洗掘量を軽減することができる。

最後に本研究にあたりて、終始御指導を賜った 室田 明 助教授に深く感謝すると共に、実験の傍をわざわざした大学院学生 神田、佐藤、渡邊、岡田諸君に謝意を表す。

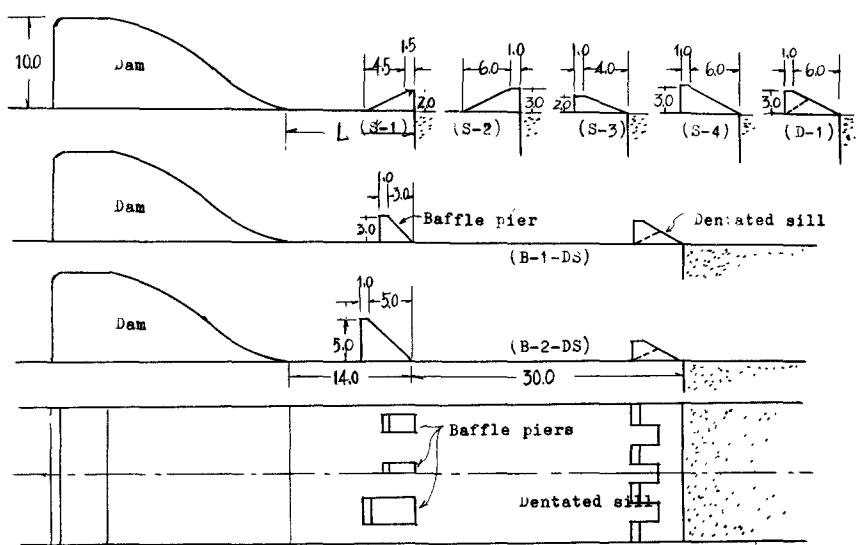


Fig. 5 Various types of baffle piers and end sills

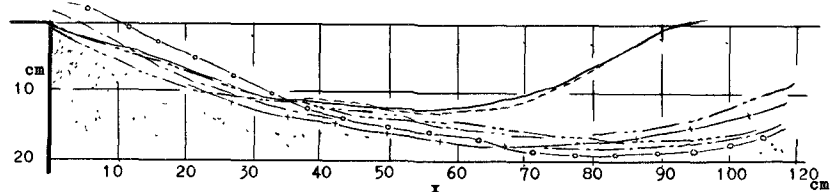


Fig. 6 Comparison of the scour holes for the various types of stilling basins after 15 minutes. (— : S-1; -·- : S-2; -··- : S-0; + : S-4; - - - : D-1; - - · - : B-1-DS; ——— : B-2-DS.)